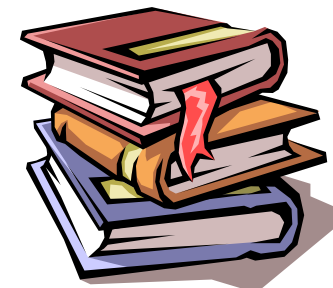


# 自动控制理论课程的任务与体系结构



课程的体系结构

# 第六章 线性系统的频域分析法



自动化学院 王辉



哈尔滨工程大学  
HARBIN ENGINEERING UNIVERSITY

# 第六章 线性系统的频域分析法

6-1 频率特性

6-2 开环频率特性曲线的绘制

6-3 频率域稳定判据

6-4 稳定裕度

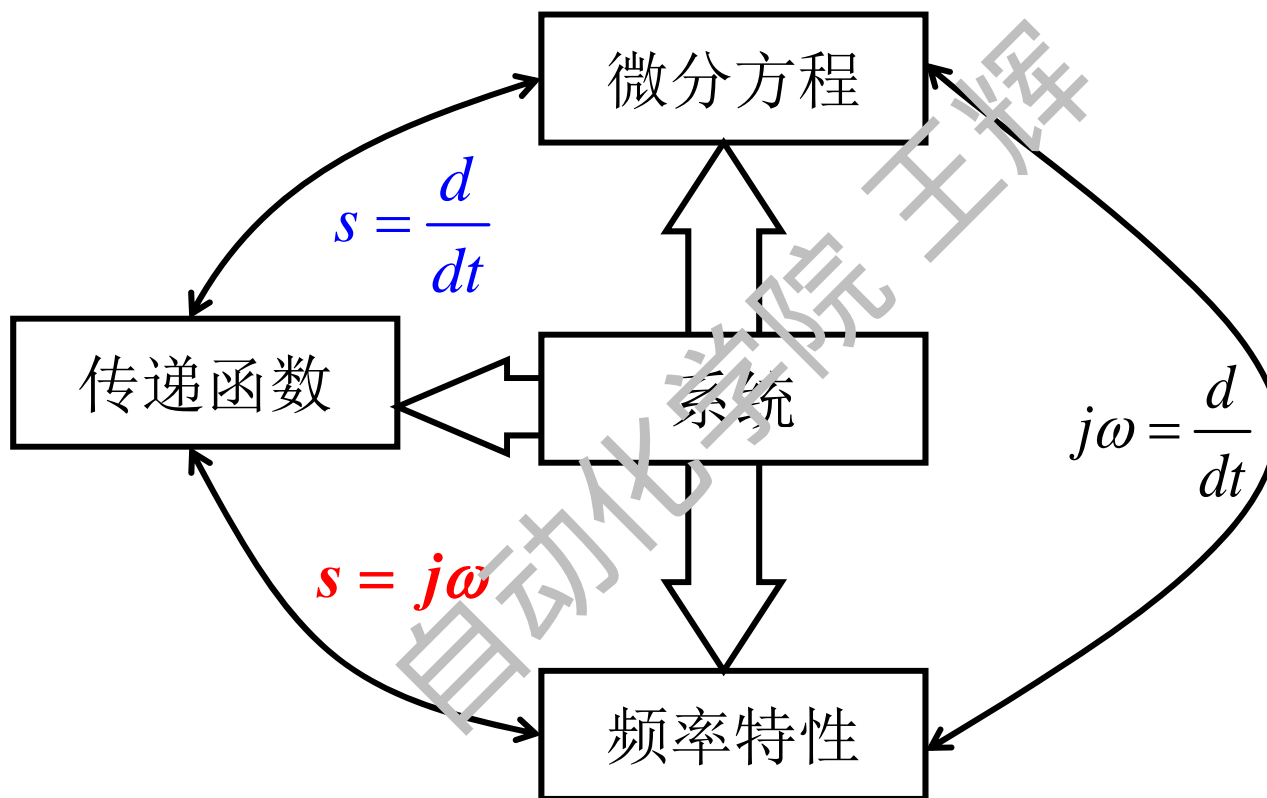
6-5 闭环系统的频率域性能指标



## § 6.1 频率特性

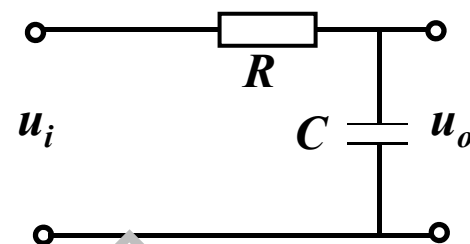
自动化学院王辉

# 系统3种描述方法的关系



## 例1 R-C滤波网络

求系统的频率特性。



自动化学院 王辉



## 关于横轴

1. 以  $\lg \omega$  刻度以  $\omega$  标值
2.  $\omega$  每扩大十倍横轴就增加一个单位长度
3. 粗线上  $\omega = 10^{\pm n}$ ,  $n = 0, 1, 2, \dots$
4. 一个单位长度中, 从左到右从稀到密
5. 横轴没有零

## § 6.2 开环频率特性曲线的绘制

自动化学院王辉



**1 典型环节的频率特性**

**2 开环幅相曲线的绘制**

**3 开环对数频率特性曲线的绘制**

# 典型环节

$$G(s)=k$$

比例环节

$$G(s) = \frac{1}{s}$$

积分环节

$$G(s)=s$$

微分环节

$$G(s) = \frac{1}{Ts + 1}$$

惯性环节

$$\Phi(s) = \frac{1}{Ts + 1}$$

一阶系统

$$\Phi(s) = \frac{1}{T^2s^2 + 2\xi Ts + 1}$$

欠阻尼二阶系统

$$G(s)=Ts+1$$

一阶微分

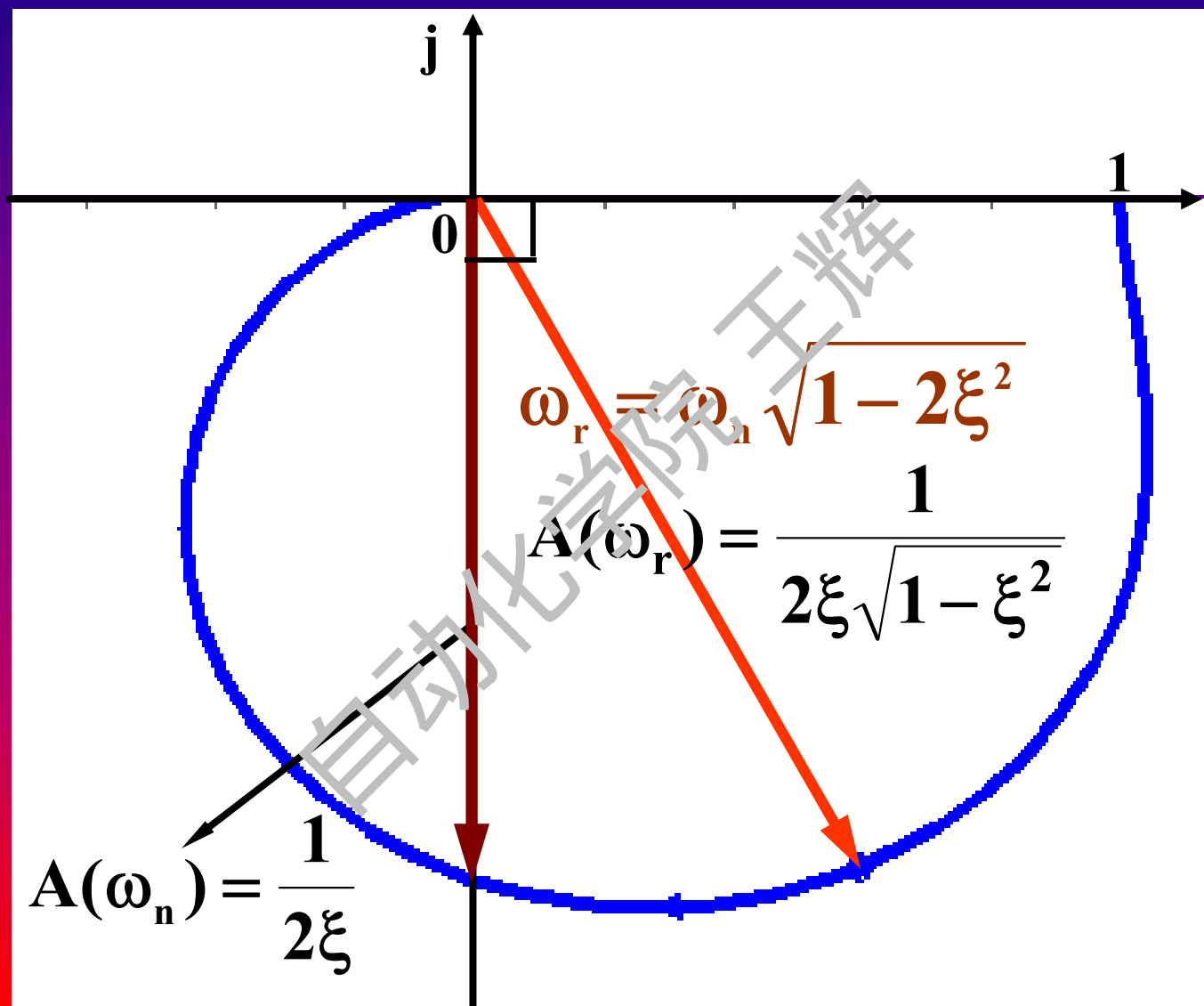
$$G(s) = \frac{1}{T^2s^2 + 2\xi Ts + 1}$$

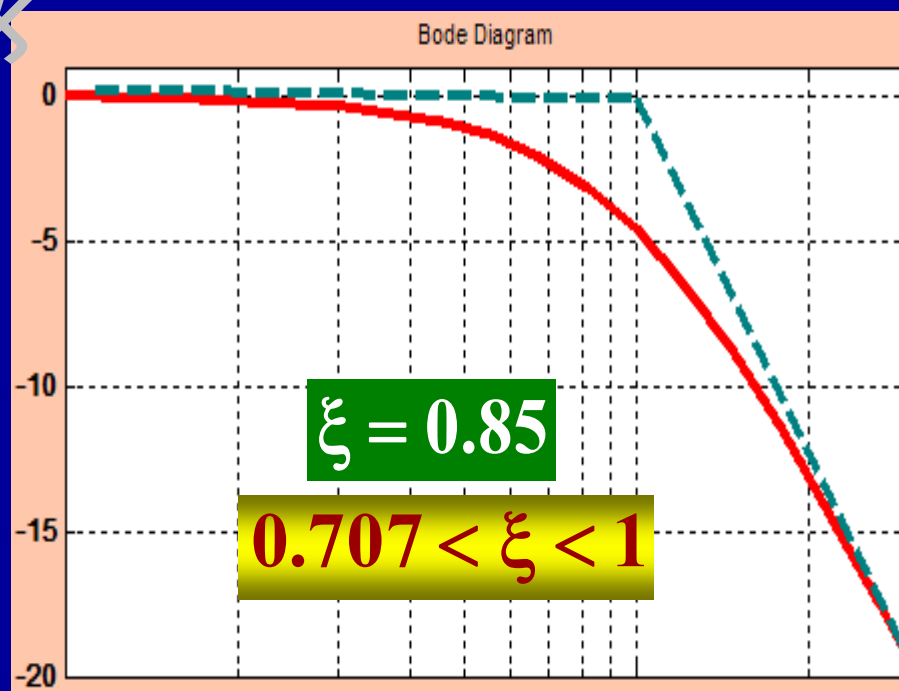
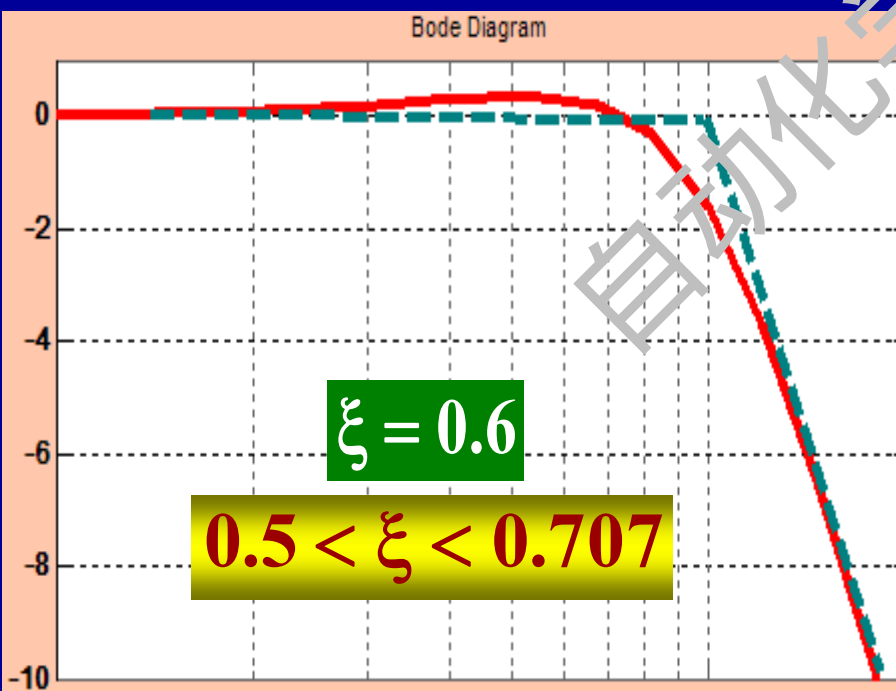
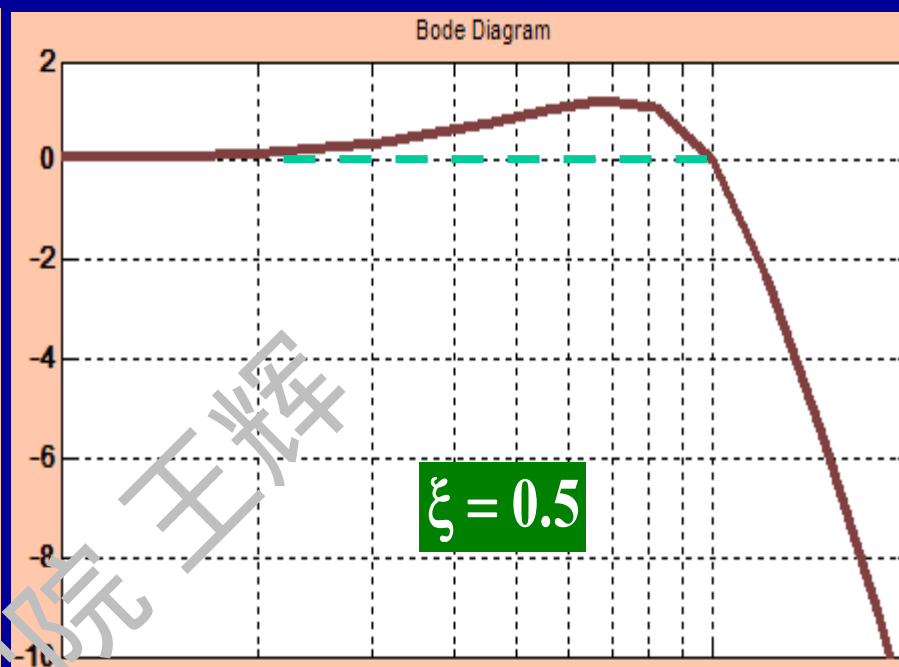
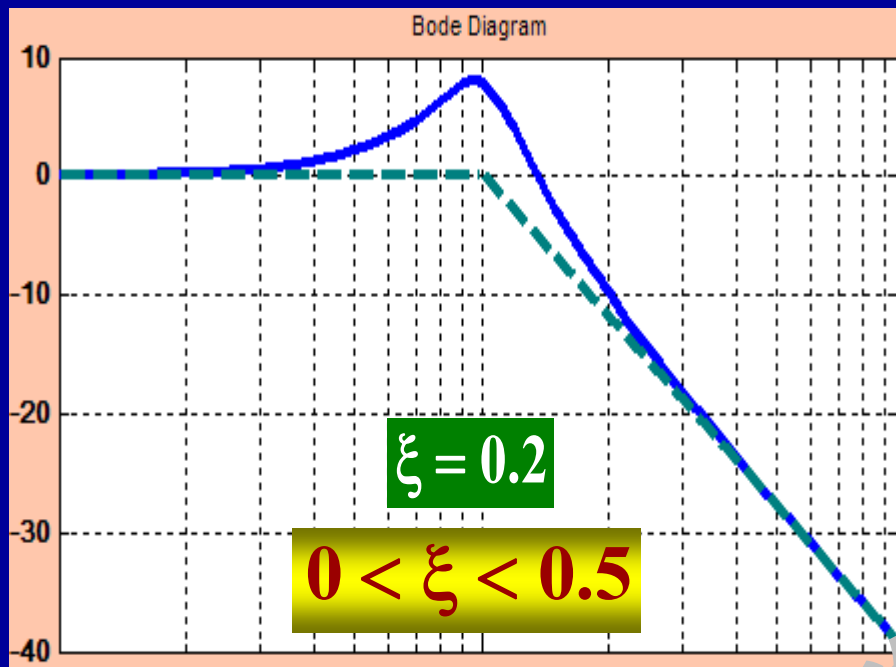
振荡环节

$$G(s) = T^2s^2 + 2\xi Ts + 1$$

二阶微分

## 6、振荡环节 $G(j\omega)$ 曲线 (Nyquist曲线)





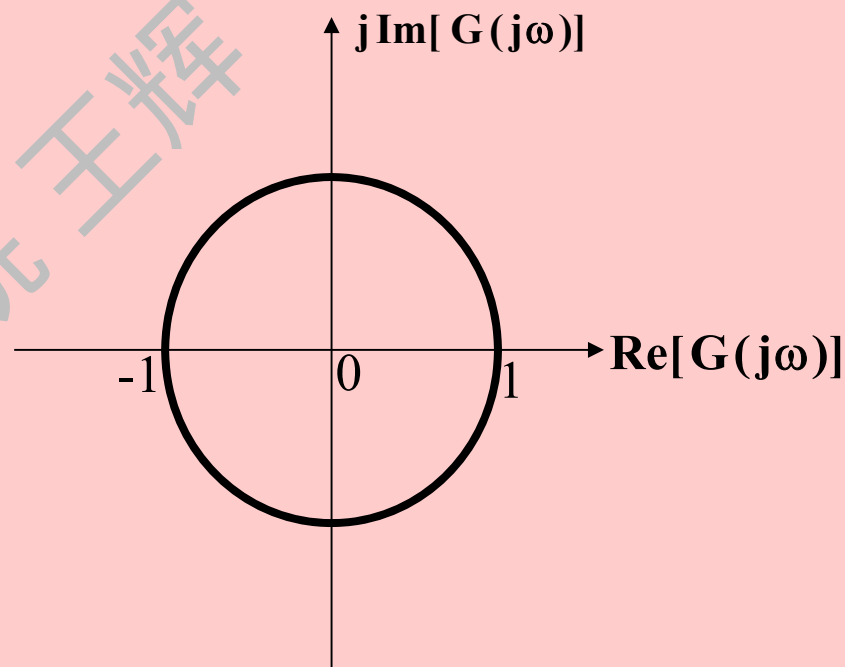
## 8、延迟环节

$$G(s) = e^{-\tau s}$$

$$G(j\omega) = e^{-j\omega\tau}$$

$$A(\omega) = 1$$

$$\phi(\omega) = -\omega\tau$$



**1 典型环节的频率特性**

**2 开环幅相曲线的绘制**

**3 开环对数频率特性曲线的绘制**

典型环节相角小结		$\omega=0$	$\omega=\infty$
$G(s)=s$	微分环节	恒定正 $90^\circ$	
$G(s)=\frac{1}{s}$	积分环节	恒定负 $90^\circ$	
$G(s)=Ts+1$	一阶微分	$0^\circ \sim +90^\circ$	
$G(s)=\frac{1}{Ts+1}$	惯性环节	$0^\circ \sim -90^\circ$	
$G(s)=T^2s^2+2\xi Ts+1$	二阶微分	$0^\circ \sim 90^\circ \sim 180^\circ$	
$G(s)=\frac{1}{T^2s^2+2\xi Ts+1}$	振荡环节	$0^\circ \sim -90^\circ \sim -180^\circ$	

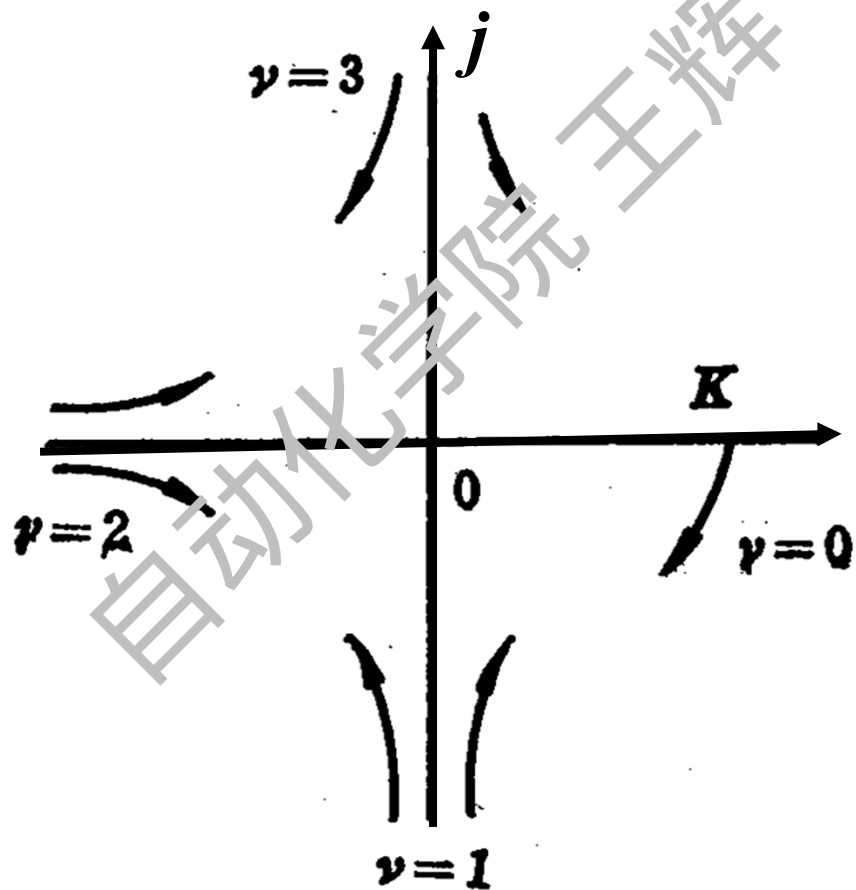
# 非最小相角环节相角小结

$G(s)$	名 称	$\omega=0$	$\omega=\infty$
$G(s)=k \quad (k<0)$	不稳定的 比例环节	恒定 $-180^\circ$	
$G(s)= -Ts+1$	不稳定的 一阶微分	$0^\circ \sim -90^\circ$	
$G(s)= \frac{1}{-Ts+1}$	不稳定的 惯性环节	$0^\circ \sim +90^\circ$	
$G(s)= T^2s^2 - 2\xi Ts + 1$	不稳定的 二阶微分	$0^\circ \sim -180^\circ$	
$G(s)= \frac{1}{T^2s^2 - 2\xi Ts + 1}$	不稳定的 振荡环节	$0^\circ \sim +180^\circ$	

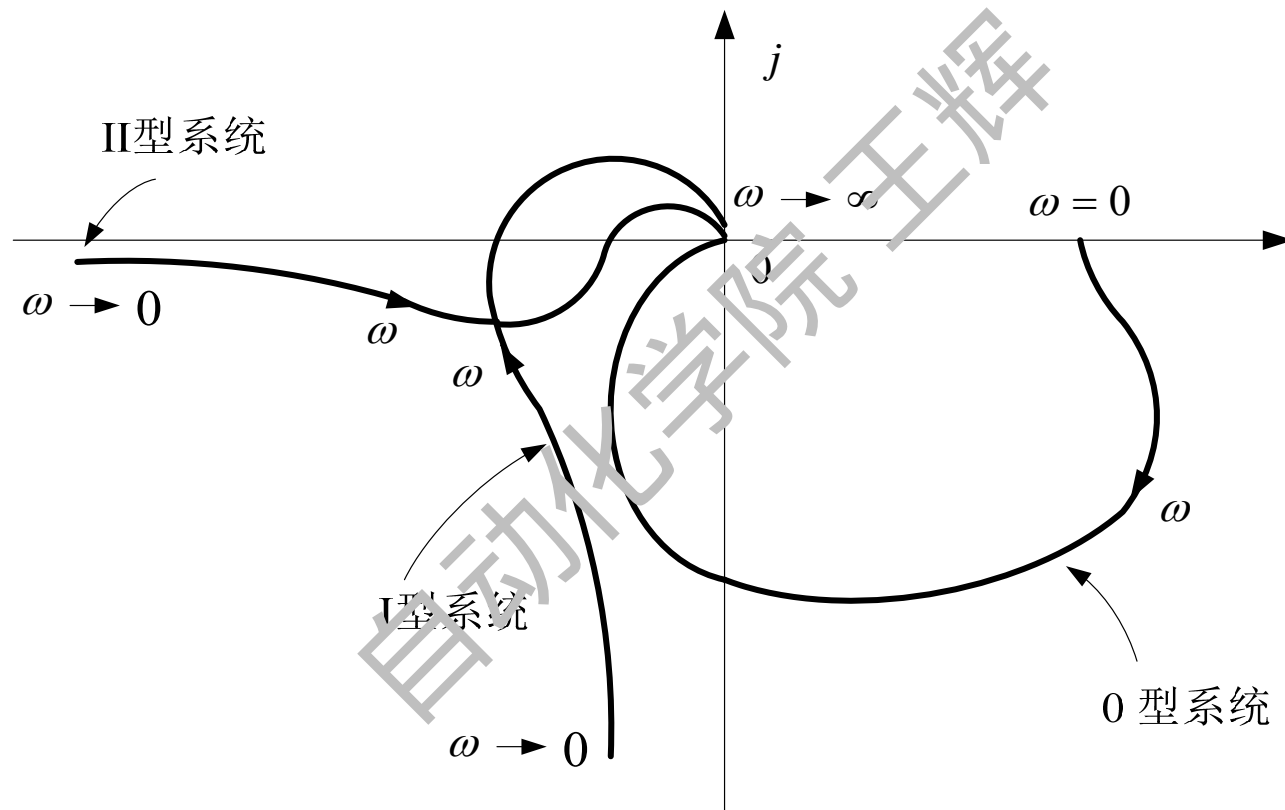


# 结论1：起始点

$$\lim_{\omega \rightarrow 0_+} G(j\omega) = \frac{K}{(j\omega)^\nu} = \frac{K}{\omega^\nu} \angle(-\nu 90^\circ)$$



## 极坐标图的形状与系统的型别关系



## 结论2：终止点

$$\lim_{\omega \rightarrow \infty} G(j\omega)H(j\omega) = \frac{K \prod_{j=1}^m (j\tau_j\omega + 1)}{(j\omega)^v \prod_{i=1}^{n-v} (jT_i\omega + 1)} = 0e^{j[-(n-m)90^\circ]} = 0 \angle -(n-m)90^\circ$$

终点： 顺时针方向趋于原点处，其角度为

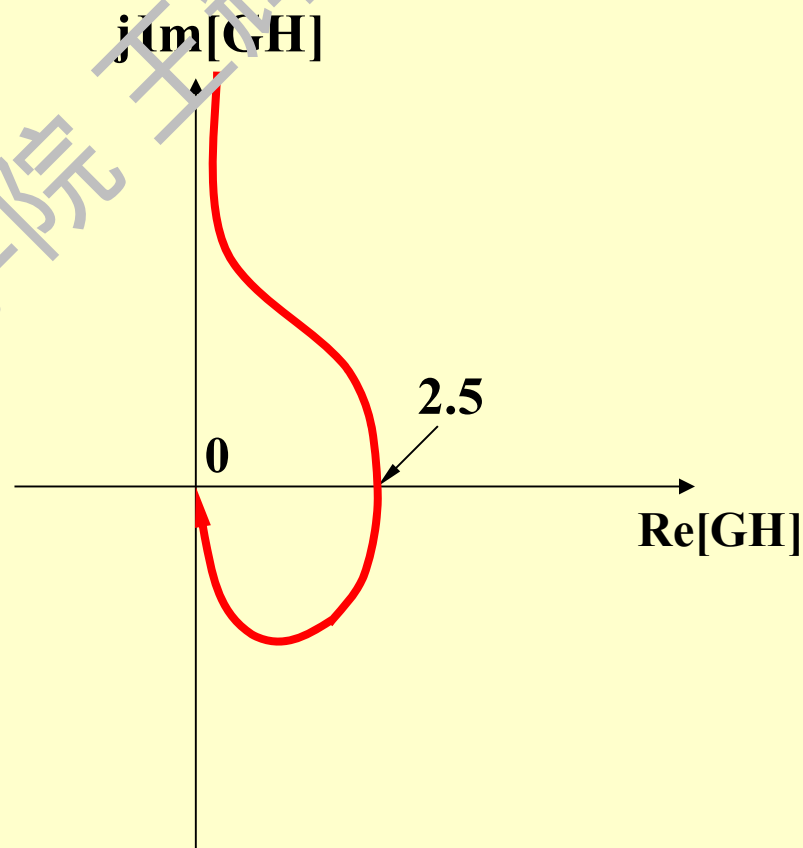
$$-(n-m) \times 90^\circ$$



## 2、开环幅相曲线的绘制例2

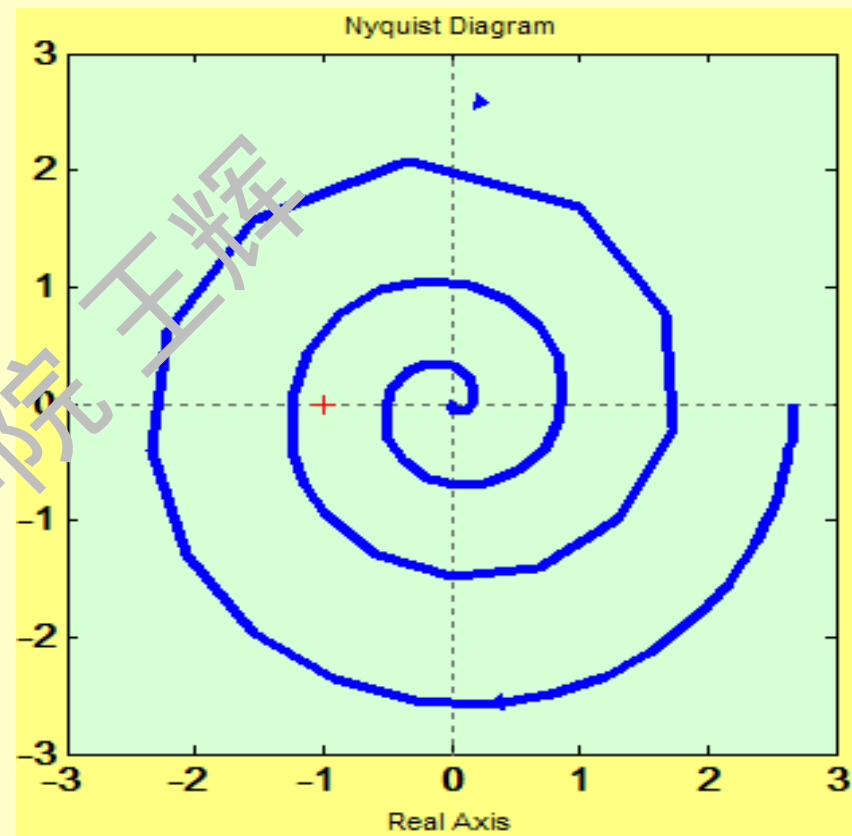
$$GH = \frac{2(s^2 - 5s + 4)}{s^3}$$

起点终点和交点



## 2、开环幅相曲线的绘制例4

$$GH = \frac{8e^{-5s}}{(s+1)(s+3)}$$



# 叠加法

步骤：

- 1、标准形式（时间常数形式）
- 2、在对数坐标纸上分别作出各典型环节的渐近幅频特性和相频特性；
- 3、相加并进行修正

注意：叠加时要分清频段



# 转折频率法

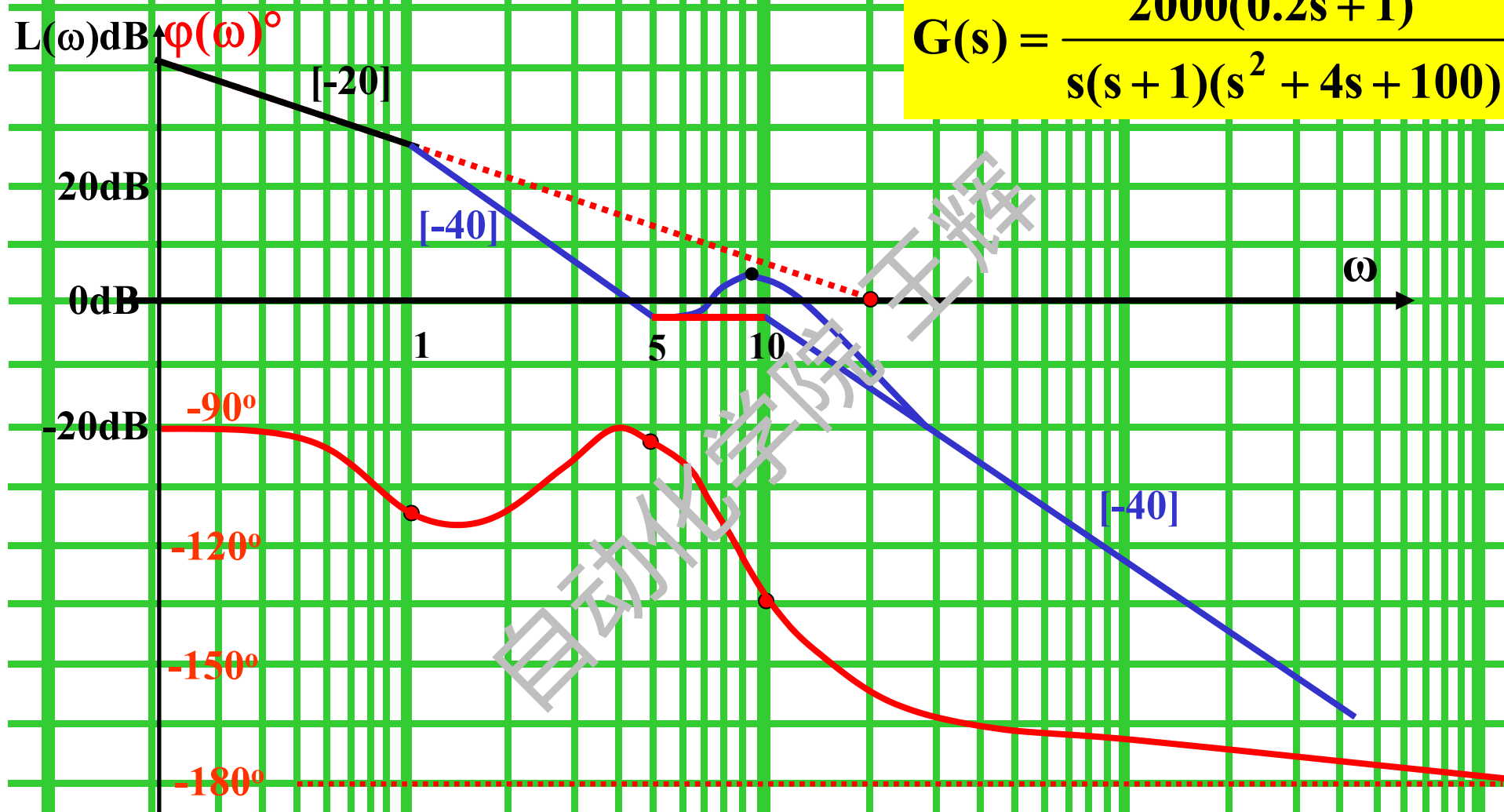
## 步骤:

- 确定**低频段**的斜率和高度;
- 将各典型环节的**转折频率**从左向右、**从小到大**排列,并在**图中**以虚线标出;
- 从**最左侧**开始绘制,在**转折频率处**按环节特性改变直线斜率



### 3、开环对数频率特性曲线绘制

$$G(s) = \frac{2000(0.2s + 1)^2}{s(s + 1)(s^2 + 4s + 100)}$$



$\omega=0$   
-90°

$\omega=1$   
-114.7°

$\omega=5$   
-93.7°

$\omega=10$   
-137.5°

$\omega=\infty$   
-180°



## § 6.3 频率域稳定判据

自动化学院王辉

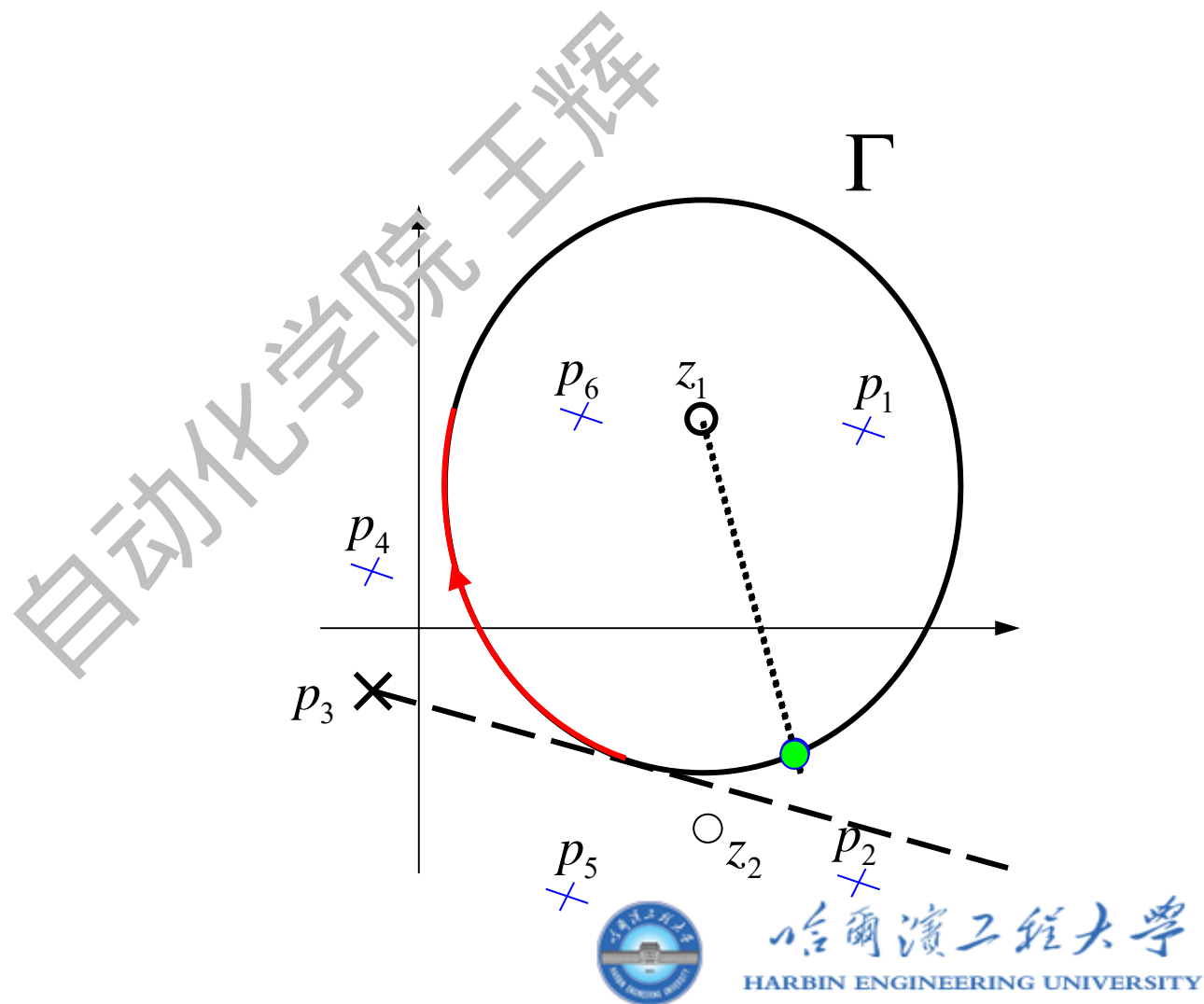
## 2、Nyquist 稳定判据的数学基础

### ——幅角映射

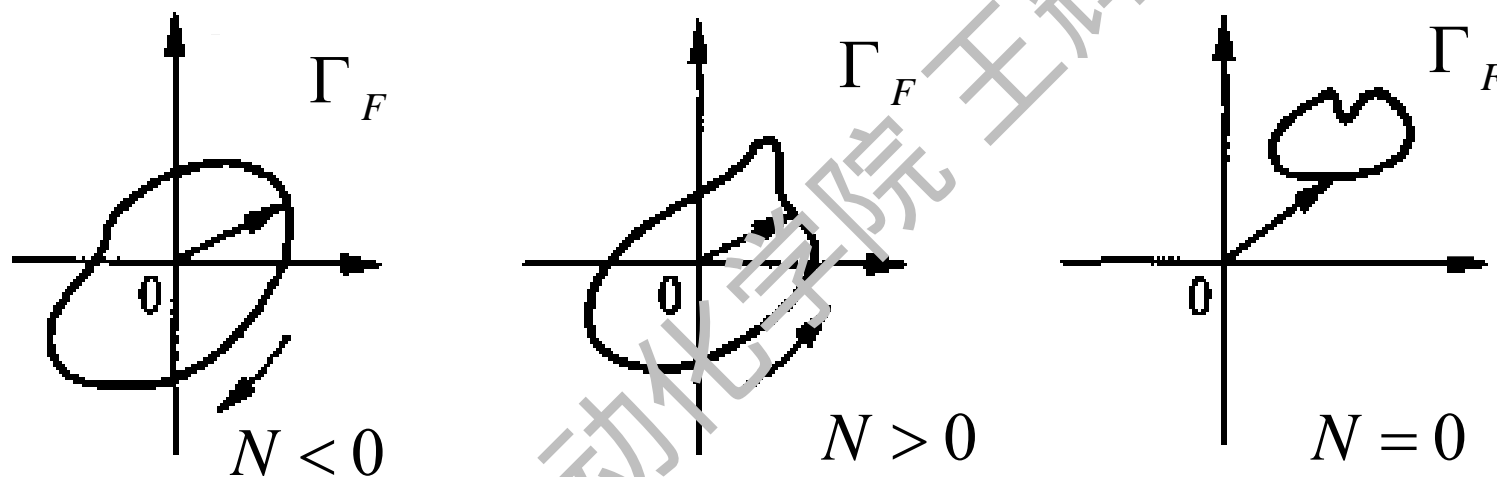
自动化学院 王辉



## 2、Nyquist 稳定判据的数学基础——幅角映射



# 幅角原理: $N$ 的规定

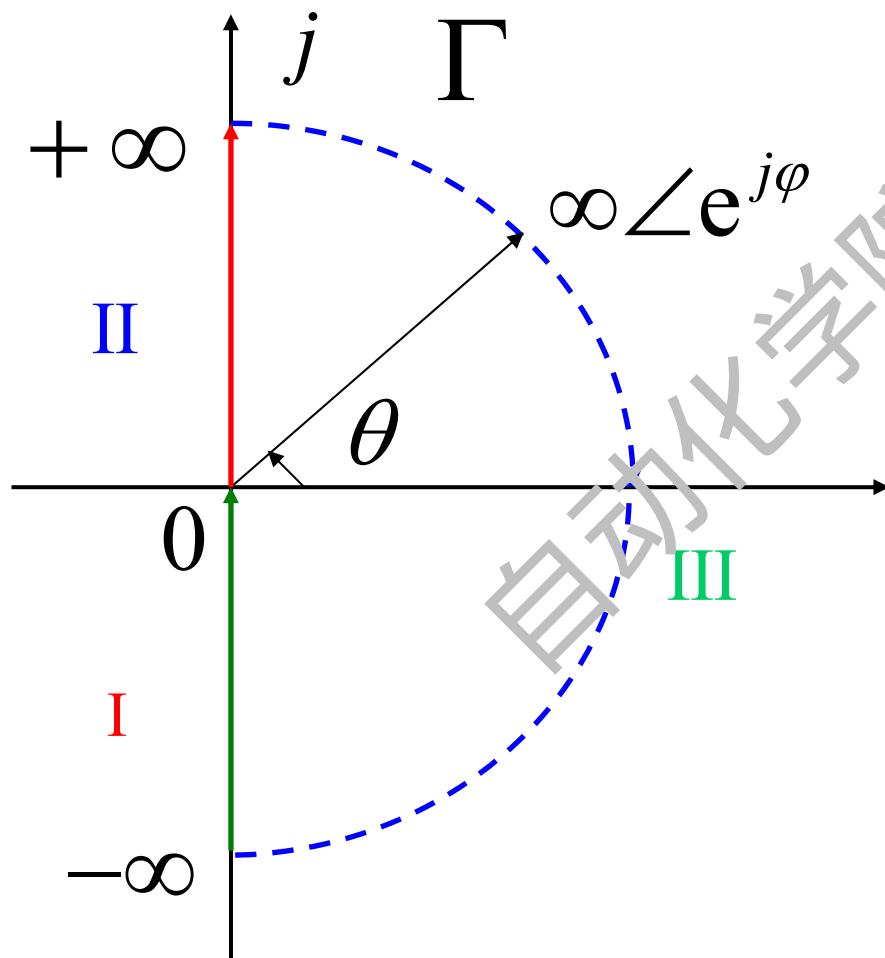


$F(s)$  平面



## 二、 $\Gamma_s$ 曲线的选取及 $\Gamma_{GH}$ 曲线的绘制

$G(s)H(s)$  无虚轴上的极点时  $\Gamma_s$  的选择 ( $\nu = 0$ )



I:  $s = j\omega, \omega \in (-\infty, 0]$

II:  $s = j\omega, \omega \in [0, +\infty)$

III:  $s = \lim_{R \rightarrow \infty} R e^{j\varphi}, \varphi \in [\frac{\pi}{2}, -\frac{\pi}{2}]$



### 三、Nyquist稳定判据

当开环系统有 $P$ 个极点在 $[s]$ 平面的右半平面时，闭环系统稳定的充分必要条件是：

当 $\omega$ 从 $-\infty \rightarrow \infty$ 变化时，在 $[G(s)H(s)]$ 平面上开环系统频率特性曲线 $\Gamma_{GH}$ 应逆时针包围 $(-1, j0)$ 点 $P$ 圈



闭合曲线  $\Gamma$  包围整个右半  $s$  平面

$$N = P - Z$$

位于右半  $s$  平面上的闭环  
传递函数的极点个数

位于右半  $s$  平面上的开环传  
递函数的极点个数

开环系统频率特性曲线  $\Gamma_{GH}$  包围  $(-1, j0)$  点  
的圈数



哈尔滨工程大学  
HARBIN ENGINEERING UNIVERSITY

**例1 已知系统开环频率响应是**

$$G(j\omega)H(j\omega) = \frac{52}{(j\omega + 2)((j\omega)^2 + 2j\omega + 5)}$$

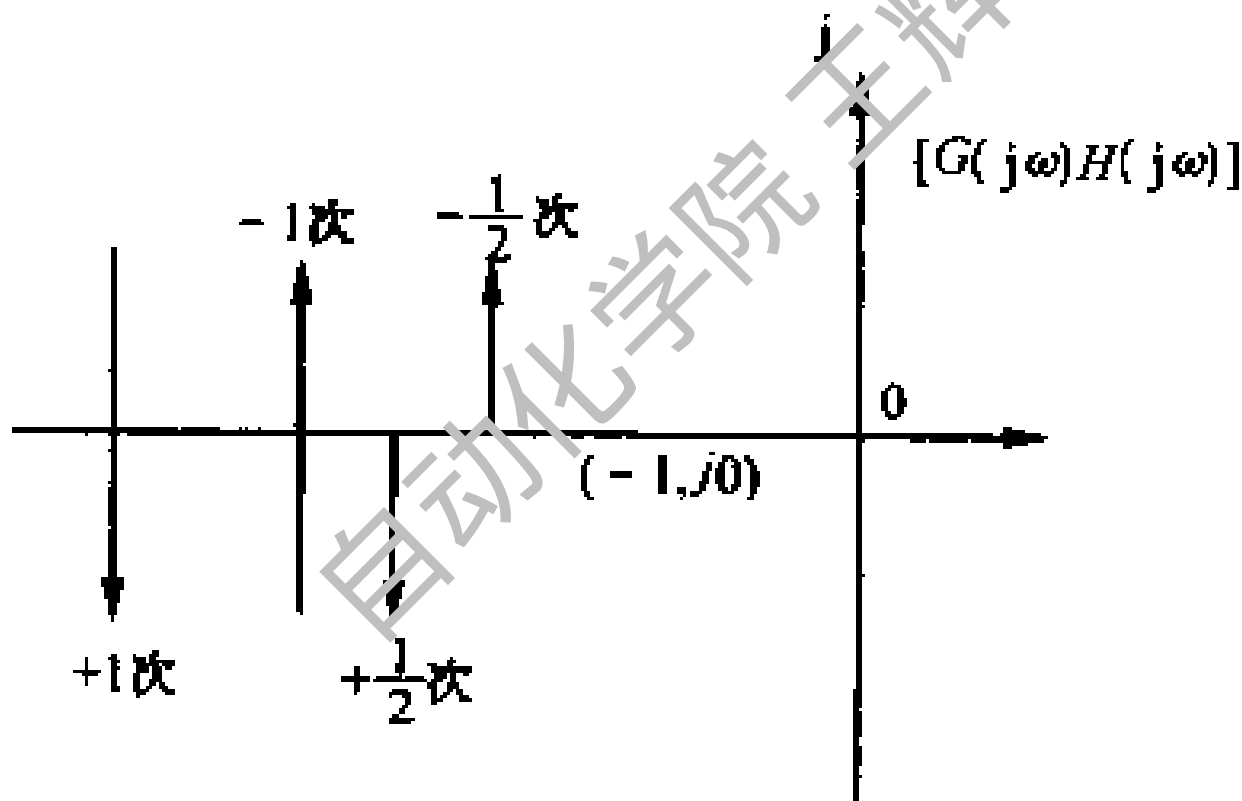
**试判断闭环系统是否稳定？**



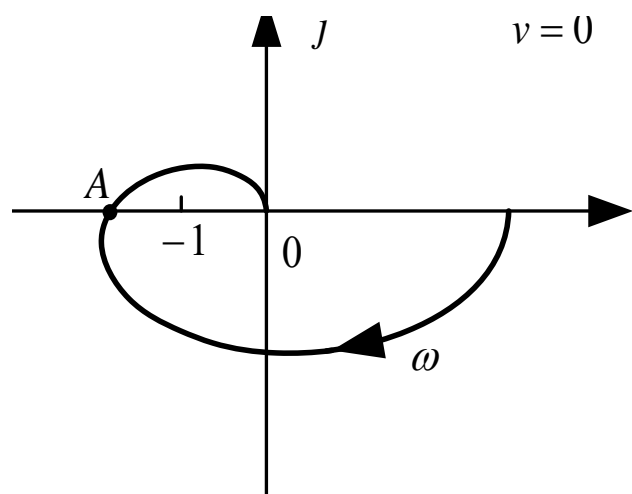


## 四、 $N$ 的计算

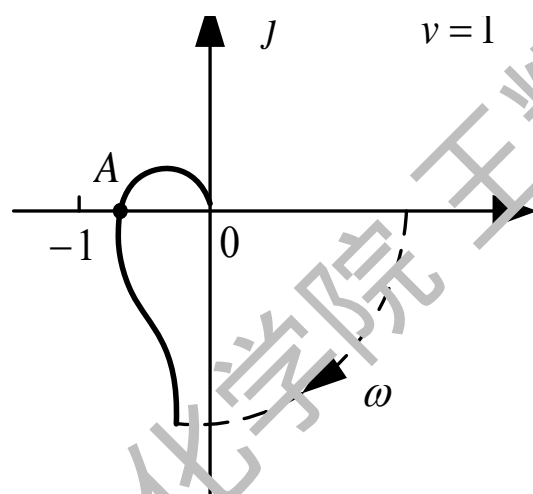
半闭合曲线  $\Gamma_{GH}$  包围原点的圈数  $N$



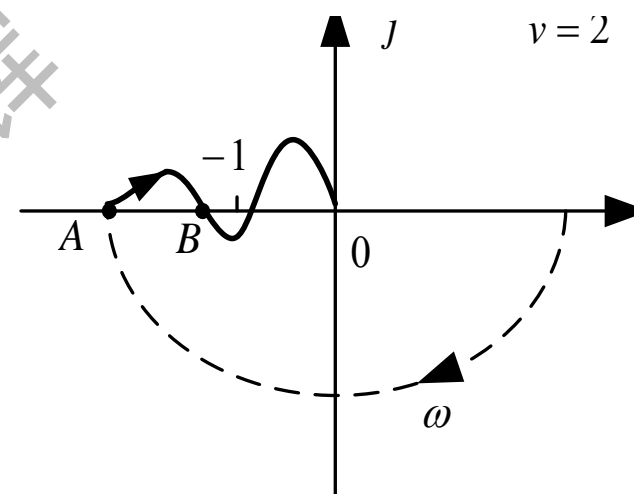
# 闭合曲线 $\Gamma_F$ 包围原点的圈数 $N$



$$N = -2$$



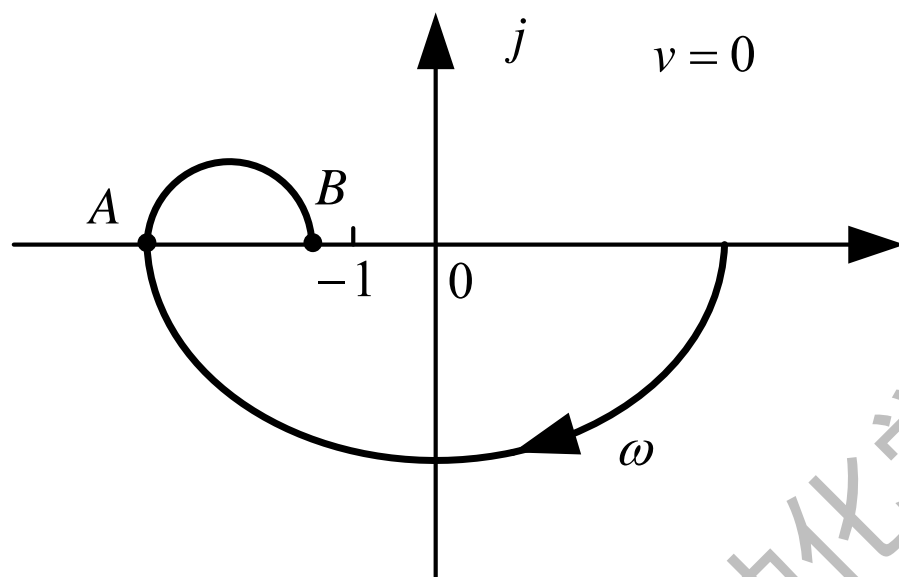
$$N = 0$$



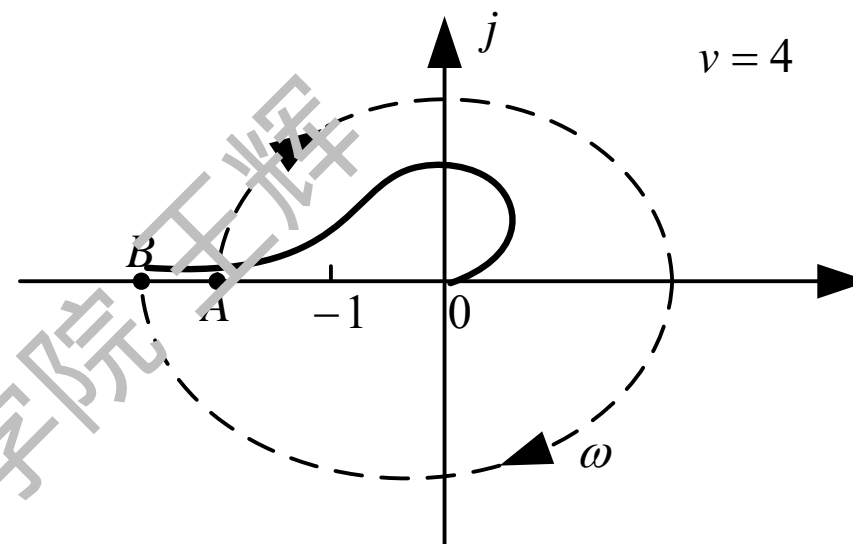
$$N = 0$$



## 闭合曲线 $\Gamma_F$ 包围原点的圈数 $N$



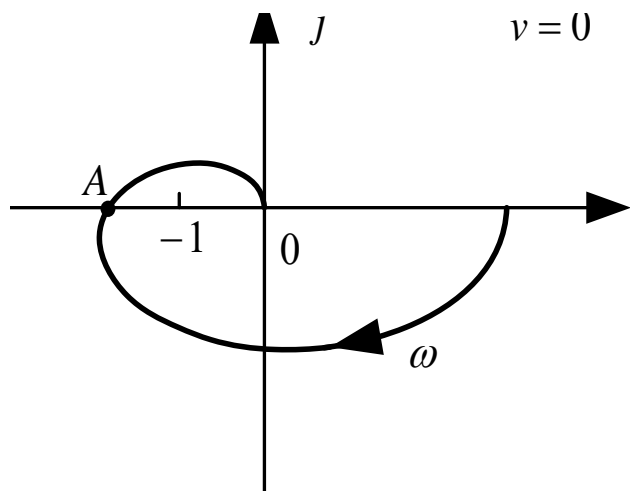
$$N = -1$$



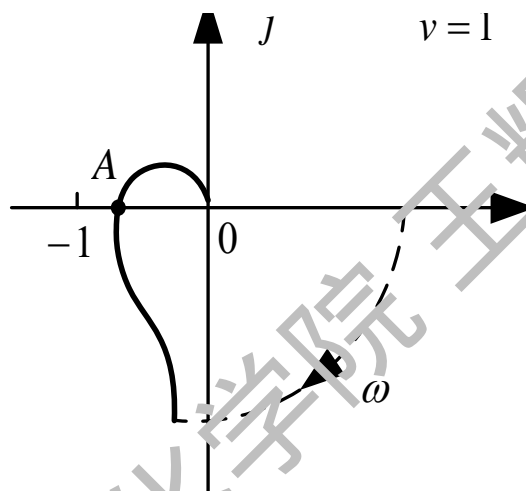
$$N = -3$$



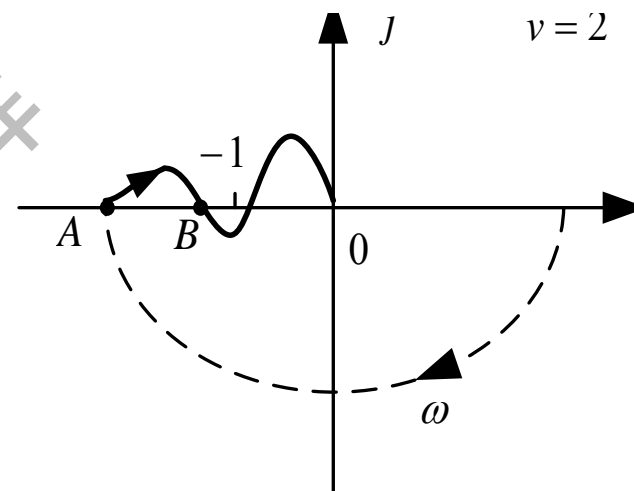
# 闭合曲线 $\Gamma_{GH}$ 包围原点的圈数 $N$



$$N = -2$$



$$N = 0$$



$$N = 0$$

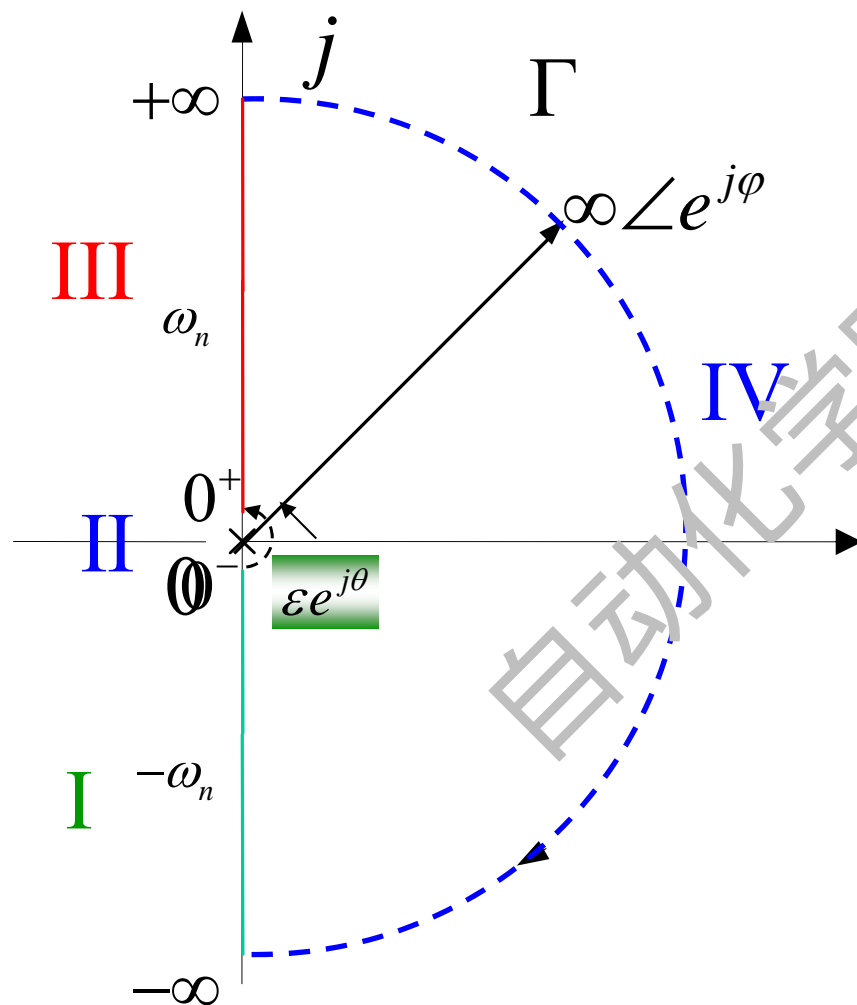


# 五、开环系统中含有积分环节或等幅振荡环节 Nyquist 判据的应用

自动化学院 王辉



哈尔滨工程大学  
HARBIN ENGINEERING UNIVERSITY



I:  $s = j\omega, \omega \in (-\infty, 0^-)$

III:  $s = j\omega, \omega \in (0^+, \infty)$

IV:  $s = \lim_{R \rightarrow \infty} R e^{j\phi}, \phi \in [\frac{\pi}{2}, -\frac{\pi}{2}]$

II:  $s = \lim_{\varepsilon \rightarrow 0} \varepsilon e^{j\theta}$

$$0^- < \omega < 0^+$$

$$\theta \in [-\frac{\pi}{2}, \frac{\pi}{2}]$$



# 半闭合曲线 $\Gamma_{GH}$ 绘制的结论

$$\nu = 0$$

圆弧的方向怎样标注？

- $\Gamma_{GH}$  即为  $0 < \omega < +\infty$  的开环幅相特性曲线

- 在上述曲线基础上，还要从  $\omega = 0^+$

$$\nu \neq 0$$

开始，以无穷大为半径，逆时

针转过  $\frac{\nu\pi}{2}$  后的虚线圆弧。



**例：设系统的开环传递函数为**

$$G(s)H(s) = \frac{4s+1}{s^2(s+1)(2s+1)}$$

**应用Nyquist判据判别闭环系统的稳定性。**

自动化学院王磊

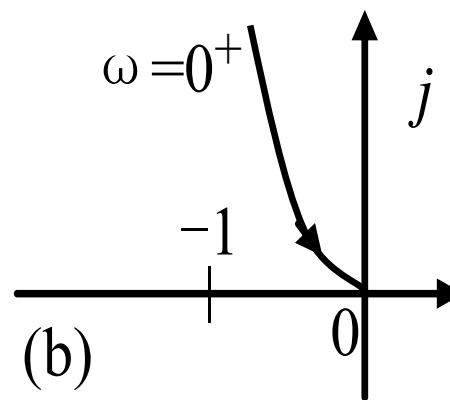
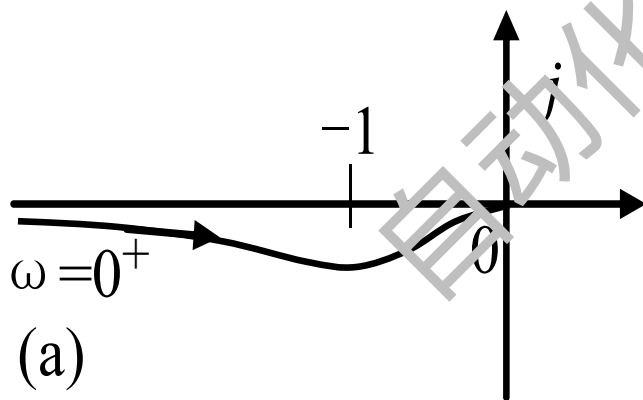




**考题：**已知下列负反馈系统的开环传递函数（参数  $k$  、  $T_1 > 0$  、  $T_2 > 0$  ），及其幅相曲线，判断各闭环系统的稳定性。（要说明理由）

$$G(s) = \frac{k(T_1 s + 1)}{s^2 (T_2 s + 1)}$$

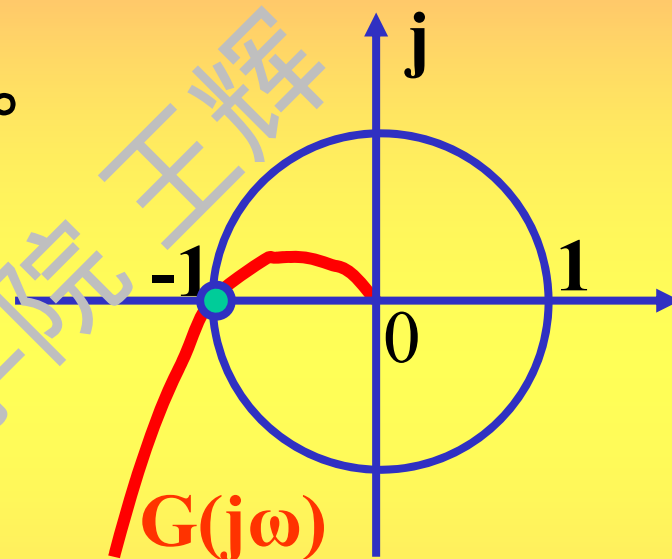
$$G(s) = \frac{k}{s(Ts - 1)}$$



# 临界稳定的概念

最小相角系统当 $G(j\omega)$ 过 $(-1, j0)$ 点时,

闭环系统**临界稳定**。



## 六、Bode图上Nyquist稳定判据的应用

自动化学院 王辉

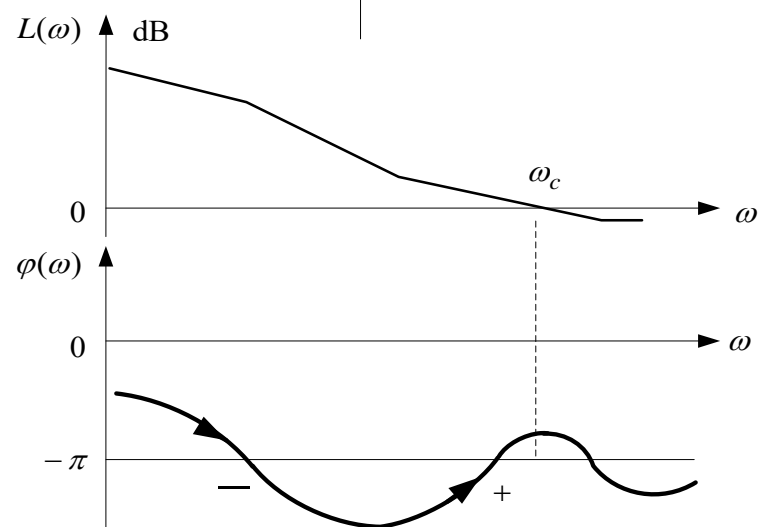
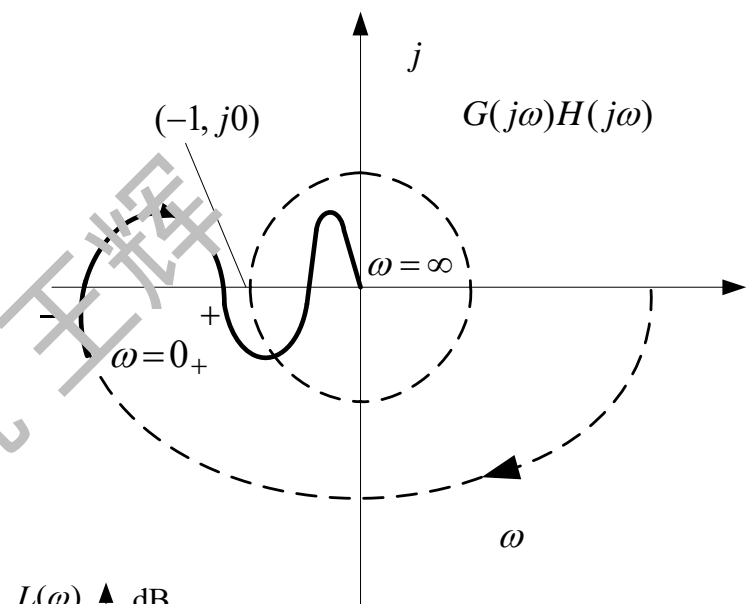


哈尔滨工程大学  
HARBIN ENGINEERING UNIVERSITY

# 1、极坐标图与伯德图对应关系

**结论：**

Nyquist曲线穿越  $(-1, j0)$  点左侧  
相当于在伯德图中当  $L(\omega) > 0\text{dB}$  时  
相频特性曲线穿越  $-180^\circ$  线。



哈尔滨工程大学  
HARBIN ENGINEERING UNIVERSITY

## 2、半闭合曲线 $\Gamma_{GH}$ 绘制的结论

$$\nu = 0$$

对应着对数相频特性曲线

$$\nu \neq 0$$

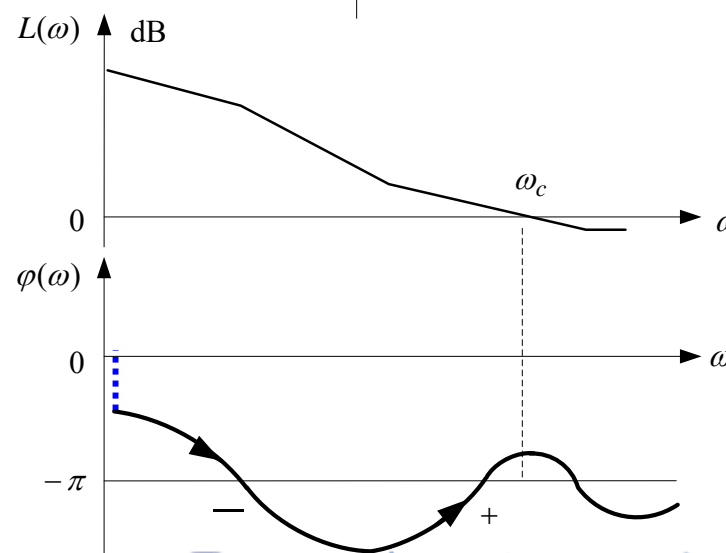
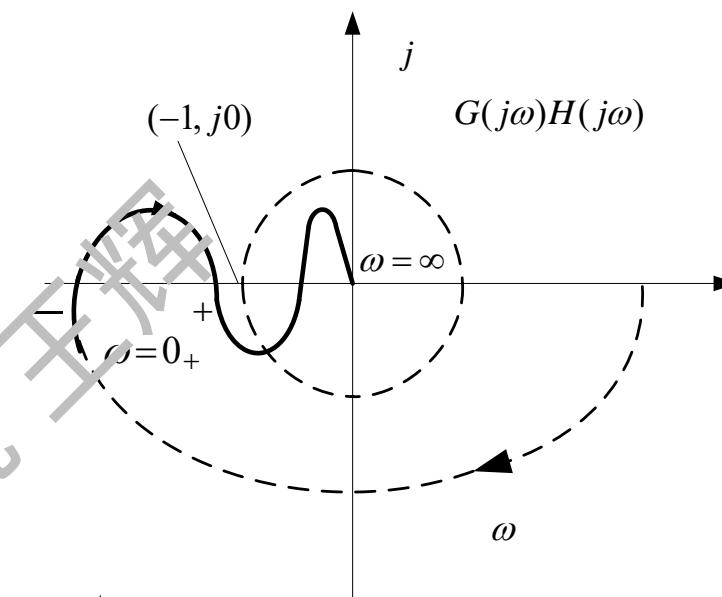
在上述基础上,  $\varphi(\omega)$  还要

在  $\omega$  趋于  $0+$  处, 由下而上

补画相角为

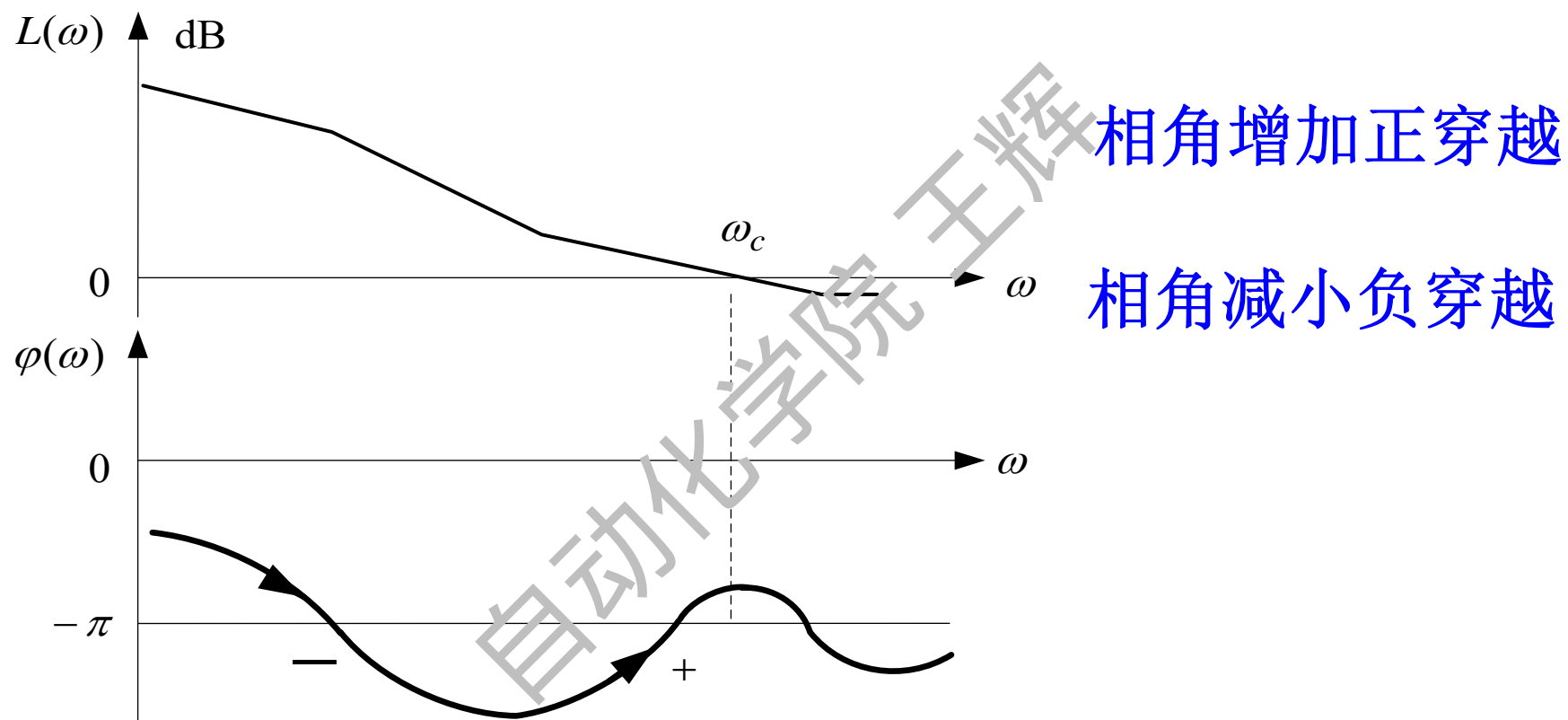
$$\frac{\nu\pi}{2}$$

的虚线。



哈尔滨工程大学  
HARBIN ENGINEERING UNIVERSITY

### 3、正负穿越次数的计算



## § 6.4 稳定裕度

自动化学院

**1、相角裕度**

**2、幅值裕度**



## 求稳定裕度步骤

$$\gamma = 180^\circ + \angle G(j\omega_c)$$

1、令 $|G(j\omega)| = 1$ 得 $\omega_c$

2、算出 $\angle G(j\omega_c)$ 角度

3、将算出的角 $+180^\circ$

$$k_g = \frac{1}{|G(j\omega_x)|} \text{ 或 } k_g = \frac{1}{|G(j\omega_g)|}$$

1、令 $\angle G(j\omega) = -180^\circ$ 得 $\omega_x$

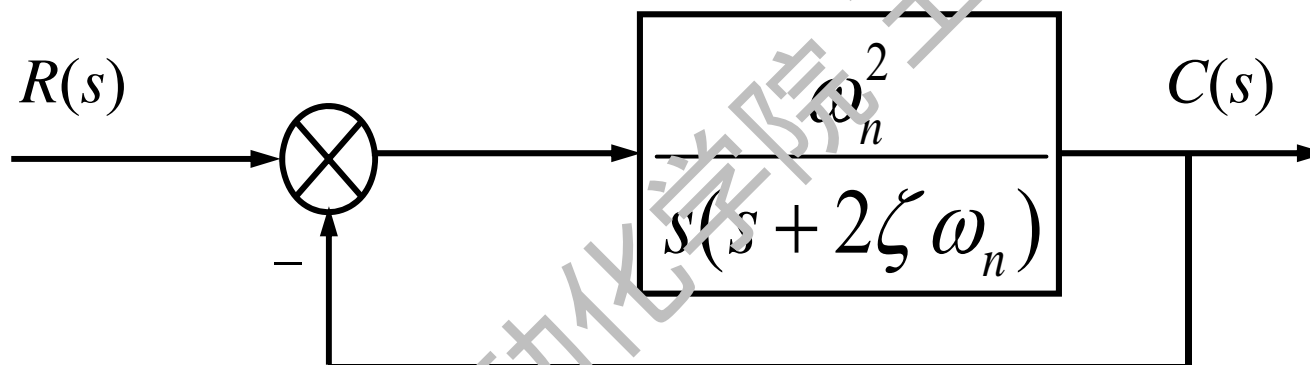
2、求出 $|G(j\omega_x)|$

3、取个倒数

自动化学院

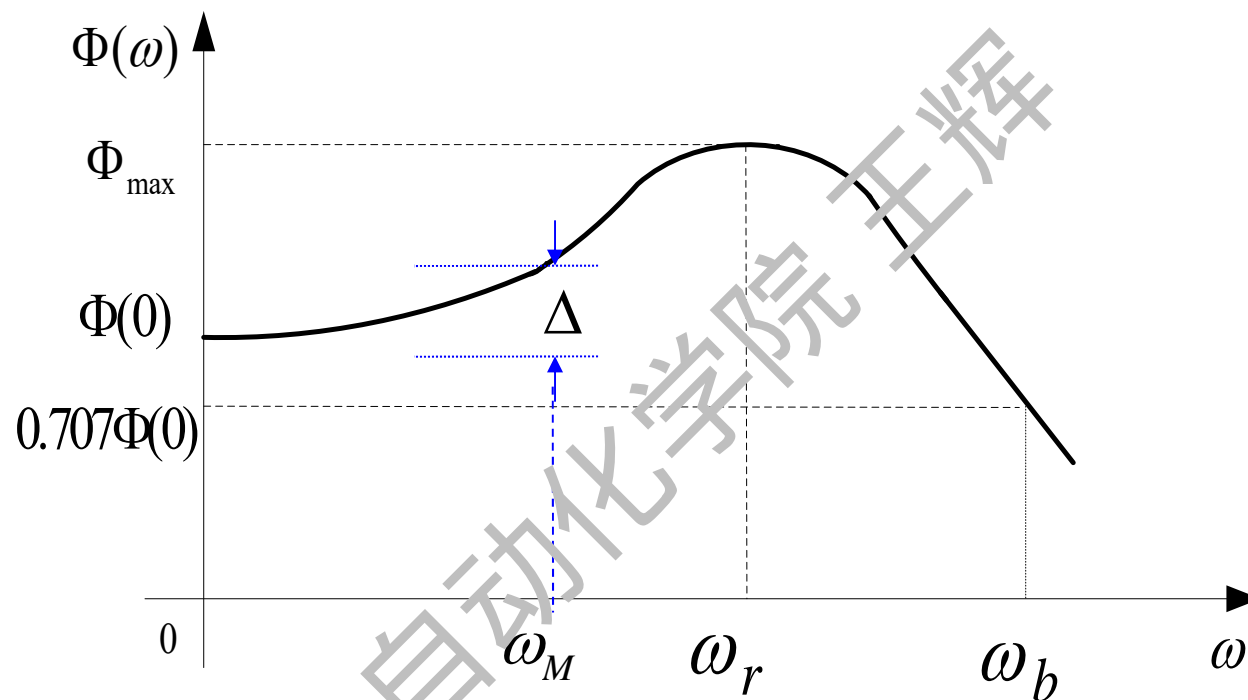
例 试确定典型二阶系统的相角裕度 $\gamma$ 。

（相角裕度 $\gamma$ 与系统参数 $\zeta$ 的关系）。



## § 6.5 闭环系统的频率域 性能指标

# 闭环幅频特性指标



### 三、二阶闭环系统频域指标与时域指标的对应关系

自动化学院 王辉



## 高阶系统的性能指标经验公式

$$M_r \approx 1 / \sin \gamma$$

$$\omega_r \approx \omega_c$$

$$\sigma_p \approx 0.16 + 0.4(M_r - 1), 1 \leq M_r \leq 1.8$$

$$t_s = \frac{k\pi}{\omega_c}, \quad k = 2 + 1.5(M_r - 1) + 2.5(M_r - 1)^2;$$



# 三频段理论

- 低频段与稳态性能
- 中频段与动态性能
- 高频段与抗干扰性

# 本章重点

1. 开环频率特性曲线的绘制
2. 频率域稳定判据应用
3. 稳定裕度的计算

